

Н. В. Никитина¹, В. Н. Сидоренко²

БИФУРКАЦИОННЫЕ ПРОЦЕССЫ В ОДНОЙ ФИЗИЧЕСКОЙ МОДЕЛИ

¹ *Институт механики им. С.П. Тимошенко НАНУ,
ул. Нестерова, 3, 03057, Киев Украина; e-mail:center@inmech.kiev.ua*

² *Институт электросварки им. Е.О. Патона НАНУ,
ул. Боженко, 11, 03680, Киев Украина; e-mail:sidvn@ua.fm*

Abstract. The bifurcations are studied for the three-dimensional system, that model the electric circuit with arc. A qualitative analysis includes the limit cycles, strange attractor, and fixed point, to which tends the describable point.

Key words: bifurcation, limit cycle, chaos.

1. Введение. Постановка задачи.

Проблема рождения аттракторов в трехмерных системах обсуждалась в работах [2, 5 – 12]. В динамических трехмерных системах существование аттрактора свидетельствует о присутствии в системе движений со сложными траекториями. Вопрос сосуществования гомоклинических и периодических траекторий исследован в работе [4]. Траекторию динамической системы, отличную от периодической, называют гомоклинической, если α -предельное и ω -предельное множества траектории совпадают и представляют собой седловой цикл [4]. Трехмерные аттракторы играют важную роль в теории бифуркаций.

Данная работа связана с результатами монографии [3], в которой изложены математические модели электрической цепи с дугой и качественный анализ уравнений движения. Цель данной работы состоит в разработке методики качественного анализа бифуркационных процессов и приложении её для изучения электрической цепи с дугой.

Рассмотрим систему

$$\frac{dx}{dt} = F(x), \quad x(t) \in R^m, \quad (1)$$

где $F(x)$ – гладкая функция, $m = 3$. Введем в рассмотрение малое отклонение $\delta x_i (i = 1, 2, \dots, m)$ в окрестности частных решений $\bar{x}_i(t)$ уравнений (1) $\delta x_i = x_i(t) - \bar{x}_i(t)$ ($i = 1, 2, \dots, m$). Примем δx_i в качестве новых координат. Линейную систему, соответствующую системе (1) в координатах δx_i

$$d\delta x / dt = A(\bar{x})\delta x, \quad \delta x \in R^m, \quad (2)$$

где $A(\bar{x}) = \partial F / \partial x|_{x=\bar{x}}$, называем *системой уравнений в вариациях* [11]. При помощи анализа корней характеристического уравнения матрицы $A(\bar{x})$ можно изучить механизм образования аттрактора. Также можно установить причины появления в регулярном аттракторе кратного периода и процесс преобразования регулярного аттрактора в странный в терминах бифуркационного процесса.

Сделаем для системы (1) следующие предположения.

Предположение 1. Система (1) имеет две особые точки. Особая точка седлофокус имеет характеристические показатели $Re\lambda_1 > 0, Re\lambda_2 > 0, \lambda_3 < 0$ с отрицательной седловой величиной $\sigma = Re\lambda_1 + Re\lambda_2 + \lambda_3 < 0$. Особая точка седлоузел имеет характеристические показатели $\lambda_1 > 0, \lambda_2 < 0, \lambda_3 < 0$, причем $\lambda_1 + \lambda_2 + \lambda_3 < 0$.

Предположение 2. На одной координатной плоскости и плоскостях, параллельных этой плоскости, система (1) относительно особой точки имеет круговую траекторию, которой соответствуют затухающие колебания. На двух других плоскостях и плоскостях, параллельных этим двум, траектория не уходит на ∞ .

Утверждение. Пусть для дифференциальной системы (1) выполняются условия Предположений 1, 2. Тогда в окрестности особой точки (седлофокус) образуется аттрактор.

Доказательство. Согласно Предположению 1 круговая траектория системы (1) относительно особой точки вида седлофокус неустойчива. Согласно Предположению 2 существование круговой траектории с затуханием на одной из координатных плоскостей указывает на диссипативный характер движения. Предположение 2 указывает на то, что траектория не уходит на бесконечность, но остается в некоторой окрестности особой точки вида седлофокус. Влияние особой точки седлоузел на траекторию системы (1) может выражаться в виде несимметрии проекций на координатные плоскости. Таким образом, в системе (1) существует притягивающая траектория, которая не уходит на ∞ и может образовать аттрактор в окрестности седлофокуса.

2. Уравнения RLC -цепи с дугой.

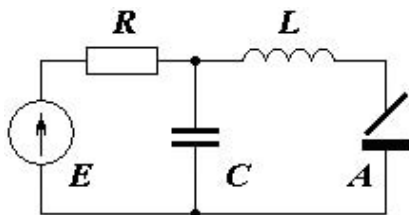


Рис. 1

Модель электрической цепи с дугой создана авторами в качестве обобщающей при анализе нескольких моделей [3]. Цепь состоит из источника питания постоянного напряжения E , резистора R , реактора L , конденсатора C и дуги A (рис. 1). Дифференциальные уравнения RLC – дуги в безразмерном виде имеют следующий вид:

$$\begin{cases} dx/dt = \frac{1}{L}(y - xz^{(n-1)/2}), \\ dy/dt = \frac{1}{RC}(1 + R - y - Rx), \\ dz/dt = x^2 - z. \end{cases} \quad (3)$$

Независимые переменные и время имеют вид $x = i/I_0$, $y = u/U_0$, $z = i_\theta^2/I_0^2$; $t = \tau/\theta$ (n – показатель степени в степенной аппроксимации статической вольтамперной характеристики (ВАХ) дуги), где u, i – напряжение на конденсаторе и ток реактора; i_θ – ток состояния дуги; τ – время. U_0, I_0 – постоянные, которые трактуются как координаты одной из точек на статической ВАХ дуги; θ – постоянная времени дуги; R, L, C – сопротивление, индуктивность и емкость электрической цепи. Особые точки системы (3) определяются из уравнения [3]

$$1 + R - Rx = x^n. \quad (4)$$

Рассмотрим два действительных положительных решения уравнения (4). Это соответствует особой точке S с координатами $(1, 1, 1)$, особой точке N с координатами (x_N, x_N^n, x_N^2) , где x_N определяется корнем уравнения (4), отличным от единицы.

При составлении системы в вариациях представим выражение $(\bar{z} + \delta z)^{(n-1)/2}$, согласно первого уравнения системы (3), в виде степенного ряда

$$\begin{aligned} (\bar{z} + \delta z)^{(n-1)/2} &= \bar{z}^{(n-1)/2} \left(1 + \frac{\delta z}{\bar{z}} \right)^{(n-1)/2} = \bar{z}^{(n-1)/2} \left(1 + \frac{(n-1)}{2} \frac{\delta z}{\bar{z}} + \dots \right) = \\ &= \bar{z}^{(n-1)/2} + \frac{(n-1)}{2} \bar{z}^{(n-3)/2} \delta z + \dots \end{aligned}$$

Уравнения в вариациях (2) системы (3) запишем так:

$$\begin{cases} \delta \dot{x} = \frac{1}{L} \left(-\bar{z}^{(n-1)/2} \delta x + \delta y - \frac{n-1}{2} \bar{x} \bar{z}^{(n-3)/2} \delta z \right), \\ \delta \dot{y} = \frac{1}{RC} (-\delta y - R \delta x), \\ \delta \dot{z} = 2\bar{x} \delta x - \delta z. \end{cases} \quad (5)$$

Составим характеристическое уравнение системы (5)

$$\begin{aligned} CLR\lambda^3 + (CLR + CR\bar{z}^{(n-1)/2} + L)\lambda^2 + (\bar{z}^{(n-1)/2} + CR(\bar{z}^{(n-1)/2} - \bar{x}^2 \bar{z}^{(n-3)/2}) + \\ + CRn\bar{x}^2 \bar{z}^{(n-3)/2} + L + R)\lambda + \bar{z}^{(n-1)/2} + (n-1)\bar{x}^2 \bar{z}^{(n-3)/2} + R = 0. \end{aligned} \quad (6)$$

С помощью уравнения (6) можно получить характеристические показатели любой точки трехмерного пространства системы (3). Подставляя координаты особых точек системы (3) $S(1, 1, 1)$, $N(x_N^n, x_N^n, x_N^2)$ в уравнение (6), получим характеристические уравнения особых точек

$$\begin{aligned} CLR\lambda^3 + (CLR + CR + L)\lambda^2 + (L + R + 1 + CRn)\lambda + R + n = 0, \\ CLR\lambda^3 + (CLR + CRx_N^{n-1} + L)\lambda^2 + (L + R + x_N^{n-1} + CRnx_N^{n-1})\lambda + R + nx_N^{n-1} = 0. \end{aligned} \quad (7)$$

Уравнения (7) совпадают с приведенными в [3] уравнениями (3.25), (3.16).

3. Предельный цикл, цикл кратного периода, странный аттрактор.

Выберем значения параметров системы (3) из численного анализа бифуркации Хопфа в [3, с. 76]

$$(C, L, R, n) = (2, 25; 1; 15; -0, 4). \quad (8)$$

Система (3) имеет две особые точки: S – седлофокус и N – седлоузел (в соответствии с Предположением 1). Проанализируем выполнение Предположения 2. Рассмотрим координатную плоскость xz , на которой уравнения движения в соответствие с системой (3) имеют вид

$$\begin{cases} dx/dt = -\frac{1}{L}y; \\ dy/dt = \frac{1}{RC}(1 + R - y - Rx). \end{cases}$$

Этой системе соответствует диссипативный осциллятор

$$C\ddot{y} + \dot{y}/R + y/L = 0. \quad (9)$$

Уравнения движения на плоскости xz представим так:

$$\begin{cases} dx/dt = -\frac{1}{L} x z^{(n-1)/2}; \\ dz/dt = x^2 - z. \end{cases} \quad (10)$$

Характеристические показатели особой точки на плоскости xz системы (10): $\lambda_1 = 0$, $\lambda_2 = -1$. Уравнения в вариациях и характеристическое уравнение системы (10) имеют вид

$$\begin{cases} \delta \dot{x} = \frac{1}{L} (-\bar{z}^{(n-1)/2} \delta x - \frac{n-1}{2} \bar{x} \bar{z}^{(n-3)/2} \delta z); \\ \delta \dot{z} = 2\bar{x} \delta x - \delta z; \end{cases}$$

$$\bar{\lambda}^2 + \bar{\lambda} \left(1 + \frac{\bar{z}^{(n-1)/2}}{L} \right) + \frac{\bar{z}^{(n-1)/2}}{L} + \frac{(n-1)\bar{x}^2 \bar{z}^{(n-3)/2}}{L} = 0.$$

Запишем корни характеристического уравнения системы в вариациях:

$$\bar{\lambda}_{1,2} = -\frac{1}{2} \left(1 + \frac{\bar{z}^{(n-1)/2}}{L} \right) \pm \sqrt{\frac{1}{4} \left(1 + \frac{\bar{z}^{(n-1)/2}}{L} \right)^2 - \frac{\bar{z}^{(n-1)/2}}{L} - \frac{(n-1)\bar{x}^2 \bar{z}^{(n-3)/2}}{L}}. \quad (11)$$

На границе области из (11) имеет место неравенство $\bar{\lambda}_1 + \bar{\lambda}_2 < 0$. Уравнения движения по плоскости yz представлены несвязанными уравнениями

$$dy/dt = \frac{(1+R-y)}{RC}; \quad dz/dt = -z.$$

В системе (3) выполняются Предположение 1, Предположение 2 и Утверждение о существовании аттрактора.

Аттрактор может быть регулярным, странным, и может быть притягивающей неподвижной точкой в трехмерном пространстве, к которой стремится траектория системы (3). Для динамических систем с симметрией можно доказать теорему о существовании регулярного аттрактора [2] (предельного цикла с симметрией). В окрестности пространства параметров, вызывающих симметрию, также существуют замкнутые траектории. Здесь симметричный аттрактор не образуется, т.к. особая точка N нарушает симметрию. Примем из опыта работы [3], что в системе (3) существует регулярный аттрактор (значения параметров (8)). На рис. 2, *a*, *б* изображен аттрактор (трехмерный предельный цикл) в виде проекции на координатную плоскость xz . Ниже приводится анализ бифуркаций согласно характеристическому уравнению (6) и численному решению (\bar{x}, \bar{z}) .

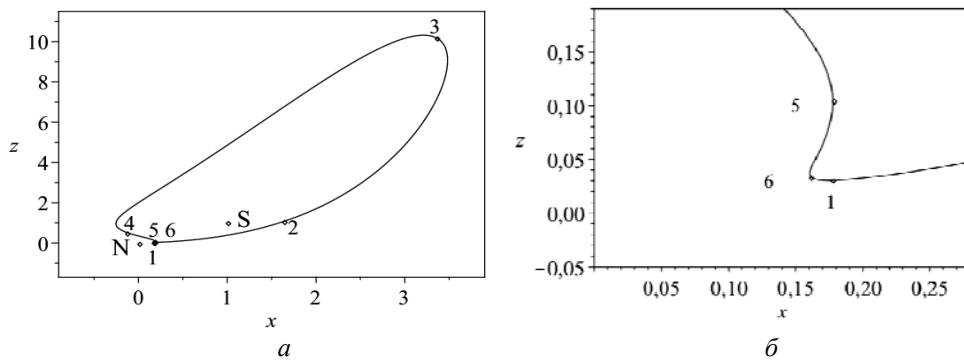


Рис. 2

В табл. 1 приведена бифуркационная картина предельного цикла со значениями параметров (8). В первом столбце таблицы – номера точек (№) согласно обозначениям на проекции xz (рис. 2, а). Во втором столбце приведено название и характеристические показатели (ХП) точки. В третьем столбце – название бифуркации рождения новой точки взамен существующей; ХП этой точки приведено в четвертом столбце. Например, в точке 1 происходит переход седлофокуса ($Re\lambda_{1,2} > 0, \lambda_3 < 0$) в седлоузел ($\lambda_1 > 0, \lambda_2 > 0, \lambda_3 < 0$). Бифуркация в точке 1 – рождение седлоузла из седлофокуса. Во всех точках замкнутой траектории седловая величина < 0 . Точки бифуркаций 1, 5, 6 близки друг к другу и в масштабе рисунка 2, а совпадают (см. рис. 2, б). Процессы качественного изменения траектории вблизи точек 1, 4, 5, 6 созданы влиянием особой точки N . Бифуркации точек 1, 4, 5, 6 поглощают больше времени, чем прохождение изображающей точки на участках 2–3, 3–4. На участке 4–6 изображающая точка перемещается гораздо медленнее. Это вызывает неравномерность движения в целом.

Таблица 1

№	Название и ХП точки	Бифуркации	ХП точки
1	седлофокус ($Re\lambda_{1,2} > 0, \lambda_3 < 0$)	рождение седлоузла	$\lambda_1 > 0, \lambda_2 > 0, \lambda_3 < 0$
2	седлоузел ($\lambda_1 > 0, \lambda_2 > 0, \lambda_3 < 0$)	рождение седлофокуса	$Re\lambda_{1,2} > 0, \lambda_3 < 0$
3	седлофокус ($Re\lambda_{1,2} > 0, \lambda_3 < 0$)	рождение узлофокуса	$Re\lambda_{1,2} < 0, \lambda_3 < 0$
4	узлофокус ($Re\lambda_{1,2} < 0, \lambda_3 < 0$)	рождение узла	$\lambda_1 < 0, \lambda_2 < 0, \lambda_3 < 0$
5	узел ($\lambda_1 < 0, \lambda_2 < 0, \lambda_3 < 0$)	рождение узлофокуса	$Re\lambda_{1,2} < 0, \lambda_3 < 0$
6	узлофокус ($Re\lambda_{1,2} < 0, \lambda_3 < 0$)	рождение седлофокуса	$Re\lambda_{1,2} > 0, \lambda_3 < 0$

В работе [2] указано, что кратность периода появляется в результате неравномерного движения изображающей точки. Например, при качественном анализе системы Чуа изображающая точка попадает в область, где её скорость становится близкой к нулю. При увеличении параметра C электрической цепи с дугой уменьшается модуль седловой величины точки S . Следует ожидать увеличение области, в которой присутствует траектория, образуя аттрактор.

На рис. 3, а, приведен аттрактор удвоенного периода при следующих значениях параметров $(C, L, R, n) = (2, 4; 1; 15; -0, 4)$. Отмечены точки, в которых происходит бифуркация решения. Во всех точках замкнутой траектории седловая величина < 0 . Результаты сведены в виде табл. 2. Неравномерность движения существует здесь еще в большей мере. Она имеет место в области точек 4 – 7 и проявляется в виде удвоения периода. В системе (3) процесс удвоения периода можно рассмотреть более подробно.

На рис. 3, а будем отмерять период цикла по точкам бифуркации. Начнем с точки под номером 1, которая находится слева рисунка 3, а. Если бы траектория замыкалась за один оборот, точка замыкания 1 должна появиться справа между точками 7 и 8. Однако, точка бифуркации 1 между точками 7 и 8 отсутствует. Это означает, что траектория делает один оборот и не замыкается. На первом витке траектория неустойчива. Траектория делает еще один оборот и тогда после точки под номером 14 появляется точка 1. Траектория замыкается.

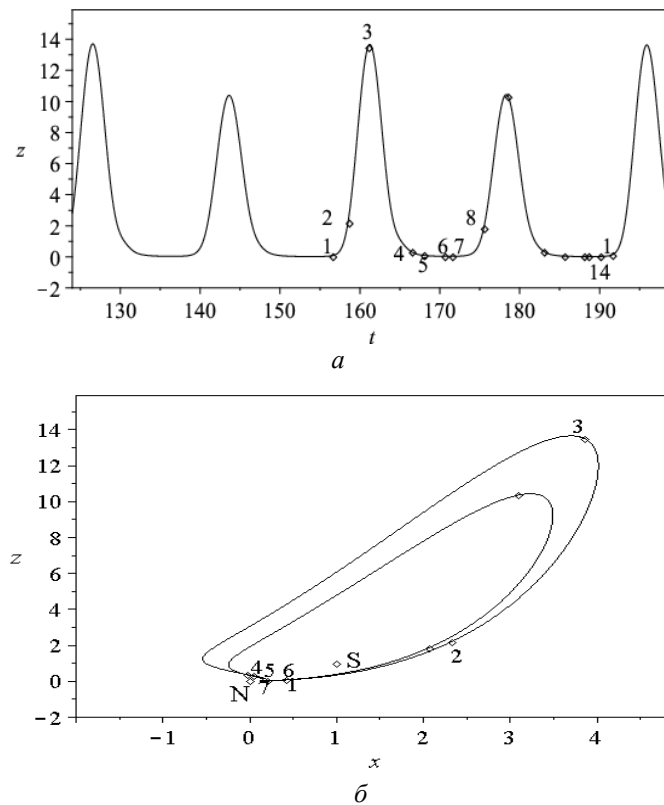


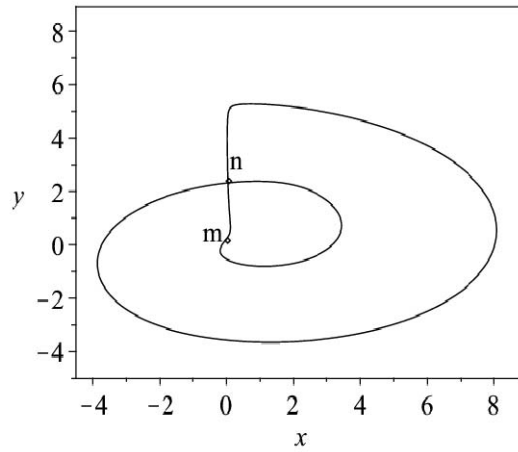
Рис. 3

Таблица 2

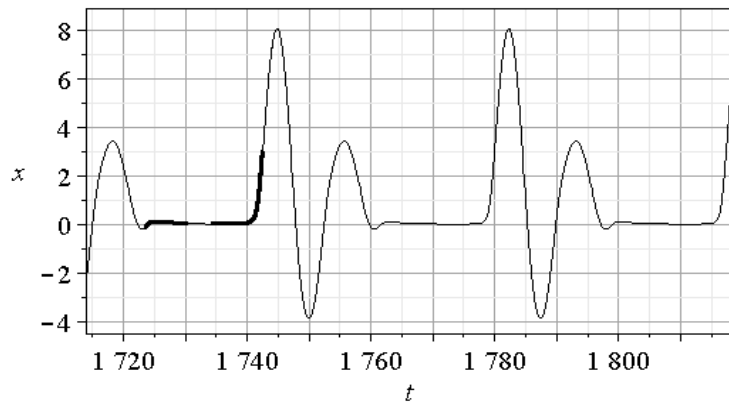
№	Название и ХП точки	Бифуркации	ХП точки
1	седлоузел ($\lambda_1 > 0, \lambda_2 < 0, \lambda_3 < 0$)	рождение седлоузла	$\lambda_1 > 0, \lambda_2 > 0, \lambda_3 < 0$
2	седлоузел ($\lambda_1 > 0, \lambda_2 > 0, \lambda_3 < 0$)	рождение седлофокуса	$Re\lambda_{1,2} > 0, \lambda_3 < 0$
3	седлофокус ($Re\lambda_{1,2} > 0, \lambda_3 < 0$)	рождение узлофокуса	$Re\lambda_{1,2} < 0, \lambda_3 < 0$
4	узлофокус ($Re\lambda_{1,2} < 0, \lambda_3 < 0$)	рождение узла	$\lambda_1 < 0, \lambda_2 < 0, \lambda_3 < 0$
5	узел ($\lambda_1 < 0, \lambda_2 < 0, \lambda_3 < 0$)	рождение узлофокуса	$Re\lambda_{1,2} < 0, \lambda_3 < 0$
6	узлофокус ($Re\lambda_{1,2} < 0, \lambda_3 < 0$)	рождение седлофокуса	$Re\lambda_{1,2} > 0, \lambda_3 < 0$
7	седлофокус ($Re\lambda_{1,2} > 0, \lambda_3 < 0$)	рождение седлоузла	$\lambda_1 > 0, \lambda_2 > 0, \lambda_3 < 0$
8	седлоузел ($\lambda_1 > 0, \lambda_2 > 0, \lambda_3 < 0$)	рождение седлофокуса	$Re\lambda_{1,2} > 0, \lambda_3 < 0$

Увеличивая параметр C , получим каскад предельных циклов с кратными периодами.

Приведем предельный цикл (рис. 4, а, б) с увеличением периода в три раза ((C, L, R, n) = (2, 8; 1; 15; -0, 4)). Здесь имеет место длительный период времени установления периодического движения. На отмеченном участке $m - n$ (рис. 4), а все точки имеют характер узла с характеристическими показателями $\lambda_1 < 0, \lambda_2 < 0, \lambda_3 < 0$.



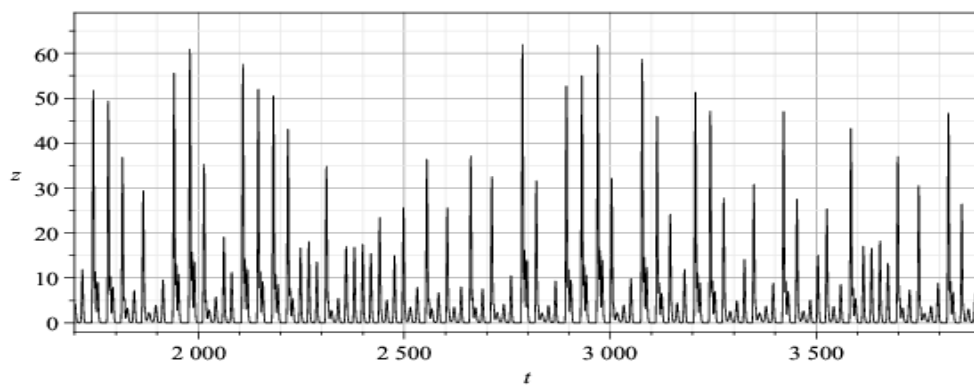
a



б

Рис. 4

На рис. 4, б отмечены жирной линией два участка, которым соответствуют узловые точки (характеристические показателями $\lambda_1 < 0$, $\lambda_2 < 0$, $\lambda_3 < 0$) и седлоузловые точки. Тонкими линиями обозначены узлофокусные и седлофокусные точки. Здесь также величина $\sigma = \lambda_1 + \lambda_2 + \lambda_3 < 0$ для всех точек аттрактора.



a

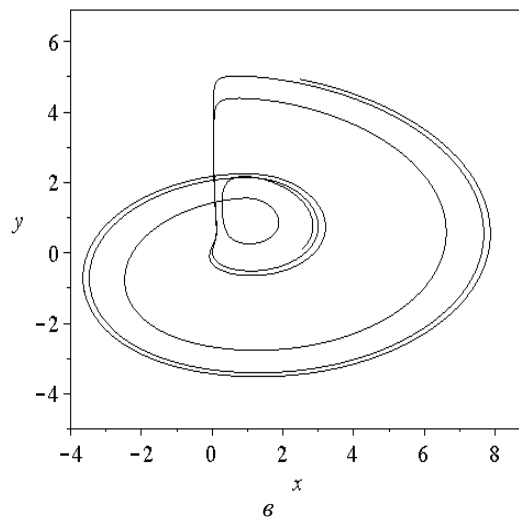
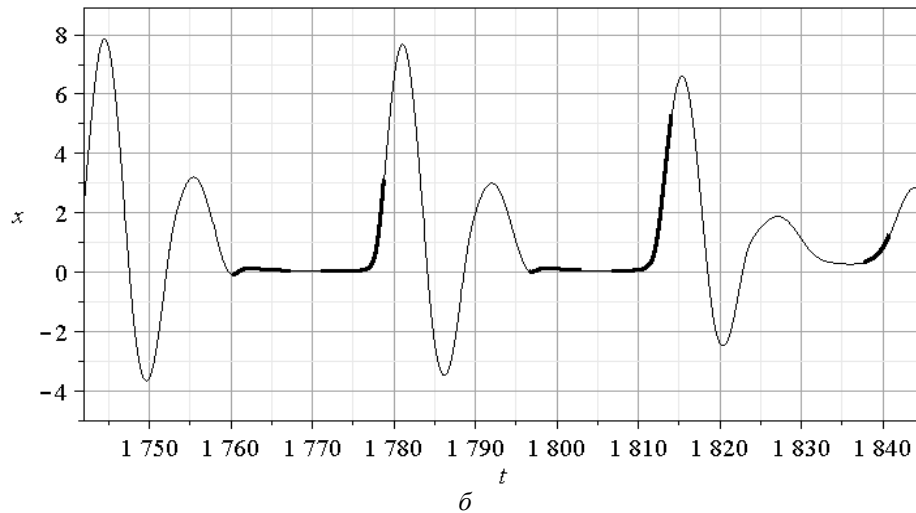


Рис. 5

Процесс образования регулярных аттракторов заканчивается при некотором значении параметра, при котором траектория не замыкается и образует странный аттрактор (рис. 5, а, б, в) $(C, L, R, n) = (2, 81; 1; 15; -0, 4)$. Периодичность процесса сохраняется. Орбитальная неустойчивость вызвана неповторяемой бифуркационной картиной за период. На рис. 5, б жирными линиями обозначены точки с узловыми ($\lambda_1 < 0$, $\lambda_2 < 0$, $\lambda_3 < 0$) и седлоузловыми характеристическими показателями. Тонкими линиями обозначены узлофокусные и седлофокусные точки. На каждом витке траектория орбитально неустойчива, однако величина $\sigma = \lambda_1 + \lambda_2 + \lambda_3 < 0$ для всех точек траектории фрагмента на рис. 5, б, в.

4. Бифуркация, порождающая притягивающую неподвижную точку.

Это состояние динамической системы (3) соответствует гашению дуги. Выясним физические причины этого явления. Заметим, что предельный цикл (рис. 2, а, б), циклы кратного увеличения периода (рис. 3, а, б, рис. 4, а, б) имеют участки узловых точек на установившейся траектории, где $\lambda_1 < 0$, $\lambda_2 < 0$, $\lambda_3 < 0$. Это точки 4–5, согласно таблиц 1, 2 и отрезок $m-n$ (рис. 4). Обозначим $|\sigma| = |\lambda_1 + \lambda_2 + \lambda_3|$. Для

случаев, перечисленных выше, $|\sigma| > 1$, но не намного превышает единицу. В этом случае траектория минует участки узловых точек.

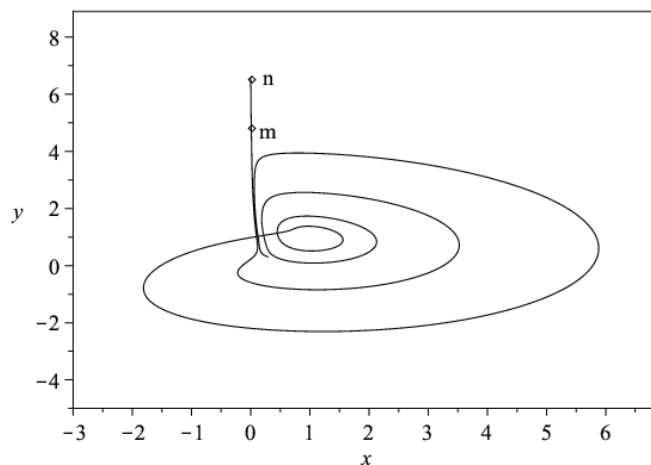


Рис. 6

Введем параметры $(C, L, R, n) = (2,814; 1; 15; -0,4)$ и приведем фазовый портрет для этих значений параметров (рис. 6). Здесь на отрезке $m-n$ величина $|\sigma| \gg 1$ и дорастает до высокого порядка, что превышает существующий в тысячу и более раз. Именно это обстоятельство воспринимается как существование притягивающей неподвижной точки.

Заключение.

В работе рассмотрены три вида аттракторов: предельный цикл, странный аттрактор и неподвижная точка, к которой стремится изображающая точка. С помощью характеристического уравнения (6) системы в вариациях изучены бифуркации точек траектории и указана физическая причина появления предельного цикла кратного периода и странного аттрактора. Одна особая точка – седлофокус формирует круговую траекторию. Вторая особая точка системы (3) – седлоузел. Эта точка влияет на конфигурацию кривой, но относительно этой точки не возникает круговой траектории. Странный аттрактор рождается в процессе потери устойчивости орбиты системы относительно одной особой точкой S и обусловлен неповторяющейся качественной картиной бифуркационного процесса.

Вычисление характеристических показателей Ляпунова системы (1) связано с применением технического подхода идентификации аттрактора, который имеет смысл в системе (1) при $m > 3$. Вычислительные алгоритмы относятся к трудам итальянской вычислительной школы семидесятых годов прошлого века (результаты изложены в монографии [1]). В данной работе анализ бифуркаций и качественный анализ дают ответы на следующие вопросы: как возникает регулярный аттрактор; как влияет изменение качества бифуркаций на орбитальную устойчивость и появление странного аттрактора. Практический интерес представляет нахождение и качественный анализ режима, который вызывает гашение дуги.

Альтернативой этому случаю является система Лоренца, в которой странный аттрактор возникает при перескоке изображающей точки из области притяжения одной особой точки в область притяжения другой. В системе Лоренца существуют две равноценные особые точки (два седлофокуса), относительно которых могут возникать орбиты движения с потерей устойчивости.

РЕЗЮМЕ. Досліджено бифуркації у тривимірній системі, яка моделює електричне коло з дугою. Якісний аналіз відноситься до граничних циклів, дивного аттрактора та нерухомої точки, до якої прямує зображувана точка.

1. *Ахромеева Т.С., Курдюмов С.П., Малинецкий Г.Г., Самарский А.А.* Структуры и хаос в нелинейных средах. – М.: ФИЗМАТЛИТ, 2007. – 488 с.
2. *Мартинюк А.А., Никитина Н.В.* О периодическом движении и бифуркациях в трехмерных нелинейных системах // *Нелінійні коливання*. – 2014 – **17**, № 2 – С. 268 – 280.
3. *Сидорец В.Н., Пентегов И.В.* Детерминированный хаос в нелинейных цепях с электрической дугой. – К.: Сварка, 2013. – 272 с.
4. *Федоренко В.В., Шарковский А.Н.* О сосуществовании гомоклинических и периодических траекторий // *Нелинейная динамика*. – 2010. – **6**, № 1. – С. 207 – 217.
5. *Anishchenko V.S., Astakhov S.V., Vadivasova T.E.* Diagnostics of the Degree of Noise Influence on a Nonlinear System Using Relative Metric Entropy // *Regular and Chaotic Dynamics*. – 2010. – **15**, № 2 – 3. – P. 263 – 276.
6. *Krys'ko V.A., Yakovleva T.V., Dobriyan V.V., Papkova I.V.* Chaotic Synchronization of Vibration of the Multilayer Mechanical Systems // *Int. Appl. Mech.* – 2014. – **50**, N 6. – P. 410 – 420.
7. *Leonov G.A.* Strange Attractors and Classical Stability Theory. – St. Peterburg: University Press, 2008. – 160 p.
8. *Martyniuk A.A., Nikitina N.V.* Bifurcations and Multistability of a Three-Dimensional System // *Int. Appl. Mech.* – 2015. – **51**, N 2. – P. 223 – 231.
9. *Martyniuk A.A., Nikitina N.V.* On Periodic Motions in Three-Dimensional Systems // *Int. Appl. Mech.* – 2015. – **51**, N 4. – P. 369 – 379.
10. *Neimark, Yu.I. and Landa, P.S.* Stochastic and Chaotic Oscillations. – Dordrecht: Kluwer, 1992. – 424 p.
11. *Shilnikov L.P., Shilnikov A.L., Turaev D.V., Chua L.O.* Methods of Qualitative Theory in Nonlinear Dynamics. Part I. – Singapore: World Scientific, 1998. – 416 p.
12. *Shilnikov L.P., Shilnikov A.L., Turaev D.V., Chua L.O.* Methods of Qualitative Theory in Nonlinear Dynamics. Part II. – Singapore: World Scientific, 2001. – 592 p.

Поступила 30.12.2014

Утверждена в печать 31.03.2016